

استخدام طرائق شبه المعلمية لتقدير المعلمة الكسرية للانمو ذي ARFIMA (0, d, 0) الأساس نظرية وتجريبية

** هبة فاضل حربى

* أ.م.د. جواد كاظم خضرير

المستخلص :

أن خاصية الاستقرارية في نماذج السلسل الزمنية تؤدي دوراً مهماً في بناء النماذج وحينما لا يتوافر شرط الاستقرارية فإنه يتمأخذ الفروق الصحيحة الموجبة لمشاهدات السلسلة إلا أنه في بعض السلسل الزمنية يكون تأثير معلمة الفروق (d) للمشاهدات البعيدة متناقضاً بشكل قطع زائد (Hyperbolically) مع أزيداد عدد الإزاحات وهذا ما يسمى بالعمليات طويلة الأمد (Long – term process) . وفي هذا البحث سيتم التعامل مع الفروق الكسرية للأنموذج التي تقع ضمن الفترة المغلقة (0.5-0.5) . ويهدف هذا البحث الى دراسة الانموذج ARFIMA (0,d,0) من خلال عرض واستخدام طرائق التقدير للمعلمة الكسرية بالأساليب شبه العملية ، فضلاً عن اجراء المقارنة بين تلك الطرائق باستخدام المحاكاة .

Abstract

The property of the stationarity time series models plays an important role in building these models . And when the condition of stationary is not hold , then the positive integer differences of the observation are used . But in some time series , the effect of (d) parameter on distant observations decays hyperbolically as the lag increases which is called as long –term processes .

In this study , the fractional differences will be dealt with this model which lie in the closed interval (0.5 , 0.5) . The goal of this thesis is to study ARFIMA (0 , d , 0) model by using the method of estimating of fractional parameter in semi parametric approach . In addition to , a comparison between these methods by using the simulation technique .

1- المقدمة:

إن السلسلة الزمنية التي تتمثل بعملية طويلة الأمد (Long-Term Process) فإن صفة الاستمرارية في مشاهداتها قد تجعل سلوك معاملات دالة الارتباط الذاتي لمشاهدات السلسلة لا تتناقض أسيًا نحو الصفر عند أزيداد الإزاحات كما هو الحال في السلسل الزمنية قصيرة الأمد (Short-Term) ، بل أن دالة الارتباط الذاتي سوف تسلك سلوك القطع الزائد (Hyperbolic) وتتناقض ببطء شديد وبمعدل متعدد الحدود (Polynomial Rate). وهذه العملية يشار إليها بالسلسل الزمنية طويلة الذاكرة (Long Memory) [17] . وطبقاً لذلك ، فقد اهتم الكثير من الباحثين بدراسة نماذج (Tsay , 2005) (Time Series)

* الجامعة المستنصرية / كلية الادارة والاقتصاد .

** باحثة .

مقبول للنشر بتاريخ 2013/12/16

مستل من رسالة ماجستير

السلالس الزمنية والمعرفة بنماذج اعتماد المدى الطويل (**Long Memory Dependence**) وتطبيقاتها في علم المياه وعلم الفلك وعلوم الحياة والفيزياء وشبكات الحاسوب وغيرها .
والجدير بالذكر إن السلالس الزمنية التي تتسم اعتماد المدى الطويل (الذاكرة الطويلة) فإن الاستقرارية تتحقق بأخذ الفروق الكسرية (d) التي تقع ضمن الفترة المغلقة [0.5,0.5] - . وبذلك فإن النماذج (**ARFIMA**) التي تتطرق للإستمرارية في البيانات هي البديل لنماذج (**ARIMA**) لكون الأخيرة تعجز عن تطبيق الفروق الكسرية .

2- هدف البحث :

يهدف البحث إلى دراسة الإنماذج ARFIMA(0,d,0) عندما تكون معلمة الفروق الكسرية (d) تقع ضمن الفترة [0.5,0.5] - وذلك من خلال عرض و استخدام طرائق التقدير للمعلمة الكسرية بالأساليب شبه المعلمية (**Semi parametric Approach**) وأجراء المقارنة بين تلك الطرائق باستخدام المحاكاة

3- الجانب النظري :

3.1 مفهوم عملية الذاكرة الطويلة: [3,6,13,17]

هناك العديد من التعريفات لأيصال مفهوم الذاكرة الطويلة في السلالس الزمنية . فهي توصف في حقل الزمن (**Time Domain**) وفي حقل التكرار (**Frequency Domain**) ، وأغلب هذه التعريفات تركز على دالة التباين المشتركة الذاتي ودالة كثافة الطيف .

حيث عرف (Robinson , 2003) [15] ذاكرة السلالس الزمنية كما يأتي :
لتكن $\{y_t\}$ عملية مستقرة في حقل التكرار بدالة كثافة طيف $f(\lambda)$ تبدي ذاكرة طويلة (- Long – Range Dependence) او اعتماد المدى الطويل (Memory) إذا كان :

$$f(0) = \infty$$

حيث ان $f(\lambda)$ لها نقطة ثابتة عند التكرار (صفر). وفي حالة المعاكسه اذا كانت $0 = \lambda$ فان $0 = f(0)$ حينئذ يقال للعملية $\{y_t\}$ انها عملية ذاكرة متوسطة او غير دائمة (Anti - Persistent) او ذاكرة سالبة .

وتكون $\{y_t\}$ عملية ذاكرة قصيرة (Short - Memory) او عملية اعتماد المدى القصير (Range Dependence) اذا كان $< f(0) < \infty$ وان:

$$f(0) = \frac{1}{2\pi} \sum_{k=-\infty}^{\infty} \gamma(k) \quad \dots \dots \dots \dots \quad (1.2)$$

وفي حقل التكرار أيضاً ، عرف (Bearan , 1994b) [2] إن العملية المستقرة $\{y_t, t \geq 1\}$ يقال أنها عملية ذاكرة طويلة بدالة كثافة طيف :

$$f(\lambda) \sim C_1 |\lambda|^{-\alpha} \quad \dots \dots \quad (2.2)$$

اذ إن $1 < \alpha < 0$ وأن $C_1 > 0$ ، في حين إنها تمتلك ذاكرة قصيرة إذا كان ($\alpha = 0$) وذاكرة متوسطة (غير دائمة) إذا كان ($\alpha < 0$)

أما في حقل الزمن (**Time Domain**) فقد وصف (Palma,2007) أن العملية المستقرة تعد عملية ذاكرة طويلة إذا كان :

$$\sum_{k=-\infty}^{\infty} |\gamma(k)| = \infty \quad \dots \dots \quad (3.2)$$

اذ إن $\gamma(k) = E(y_t, y_{t+k})$ تمثل التباين والتباين المشتركة الذاتي للسلسلة .

علاوة على ذلك ، فإن التباينات المشتركة الذاتية تتضاعل ببطء وتتبع القطع الزائد (Hyperbolic)

[19] (Yong,1974)، وكما يأتي :

$$|\gamma(k)| \sim C_2 K^{\alpha-1} \quad \text{as } k \rightarrow \infty \quad \dots \dots \quad (4.2)$$

$$C_2 = 2C_1 \Gamma(1 - \alpha) \sin\left(\frac{\alpha}{2}\pi\right) \quad \text{اذ ان}$$

وإن $1 < \alpha < 0$ و C_1 كمية ثابتة و $\Gamma(.)$ تمثل دالة كما (**Gamma Function**) في حين أن العملية المستقرة للذاكرة القصيرة تكون فيها التباينات المشتركة الذاتية تتضاعل بشكل هندسي أسي :

$$|\gamma(k)| < a b^k \quad \dots \dots \quad (5.2)$$

حيث أن : $0 < b < 1$ و $a < \infty$

ومن الجدير بالذكر إن قيمة المعلمة الكسرية (d) في عمليات الذاكرة الطويلة تساوي $\frac{\alpha}{2}$ أو أن $2d = \alpha$. وأن عامل الفرق الكسري (Fractional Difference Operator) يعرف باستخدام متسلسلة ثانى الحد (Binomial Series)

$$\nabla^d = (1 - B)^d = \sum_{j=0}^{\infty} \binom{d}{j} (-B)^j = \sum_{j=0}^{\infty} \frac{d!}{j!(d-j)!} (-B)^j$$

$$= 1 - dB + \frac{d(d-1)}{2!} B^2 - B^3 + \dots \quad \dots \dots \dots \quad (6.2)$$

إن الأسلوب التطبيقي للفرق الكسري في عملية الذاكرة الطويلة يتطلب حساب دالة كاما . لذا فقد اقترح كل من [10] (Macarthy, Disario & Sarago , 2003) خوارزمية تكرارية لحساب متسلسلة الفروق الكسرية دون الحاجة إلى حساب دالة كاما بصورة مباشرة وكما يأتي :

$$(1 - B)^d = \sum_{j=0}^{\infty} c_j B^j \quad \dots \dots \dots \quad (7.2)$$

بافتراض أن :

$$c_j = \frac{\Gamma(j-d)}{\Gamma(j+1)\Gamma(-d)} \quad , \quad j = 0, 1, 2, \dots$$

فإنه ممكن الحصول على الخاصية التكرارية لـ c_j وكما يأتي :

$$c_0 = \frac{\Gamma(0-d)}{\Gamma(0+1)\Gamma(-d)} = 1$$

$$c_j = \frac{(j-d-1)\Gamma(j-d-1)}{j\Gamma(j)\Gamma(-d)}$$

2.3 العملية ARIMA (0,d,0)

لتكن $\{u_t\}$ عملية ARIMA (0,d,0) وتدعى بعملية التشويش الأبيض الكسري (FGN) :

-1 . عندما $d < \frac{1}{2}$ فإن $\{u_t\}$ عملية مستقرة ولها تمثيل متوازن متحرك غير محدود وفقاً لنظرية (Wold)

$$u_t = \Psi(B) \epsilon_t = \epsilon_t + \Psi_1 \epsilon_{t-1} + \Psi_2 \epsilon_{t-2} + \dots \quad \text{إذ ان:}$$

$$C_1 \text{ وعندما } \Psi_j = \frac{(j+d-1)!}{j!(d-1)!} = \prod_{t=1}^j \frac{t-1+d}{t} = \frac{\Gamma(j+d)}{\Gamma(d)\Gamma(j+1)} \quad , \quad j = 1, 2, \dots$$

$$\Psi_j \sim C_1 \frac{j^{d-1}}{\Gamma(d)} \quad \text{as } j \rightarrow \infty \quad \text{ثابت موجب فان:}$$

-2 . وعندما $d > \frac{1}{2}$ فإن العملية $\{u_t\}$ تكون قابلة للاتبعاس (Invertible) وغير محدودة:

$$\pi(B)u_t = \sum_{j=0}^{\infty} \pi_j u_{t-j} = \epsilon_t$$

$$\pi_j = \frac{(j-1-d)!}{j!(-d-1)!} = \prod_{t=1}^j \frac{t-1-d}{t} = \frac{\Gamma(j-d)}{\Gamma(-d)\Gamma(j+1)} \quad , \quad j = 1, 2, \dots$$

$$\pi_j \sim C_2 \frac{j^{-d-1}}{\Gamma(d)} \quad \text{as } j \rightarrow \infty \quad \text{وعندما } C_2 \text{ ثابت موجب فان:}$$

-3 . وعندما $\frac{1}{2} \leq d \leq \frac{1}{2}$ فإن العملية $\{u_t\}$ تكون مستقرة وقابلة للاتبعاس.

-i . دالة كثافة الطيف:

$$f(\lambda) = \left[2 \sin\left(\frac{\lambda}{2}\right) \right]^{-2d} \quad , \quad 0 < \lambda < \pi \quad \dots \dots \dots \quad (8.2)$$

$$f(\lambda) \sim \lambda^{-2d} \quad \text{as } \lambda \rightarrow 0 \quad \text{وان:}$$

ii- دالة التباين المشترك كما وضعت من قبل (Gradshteyn & Ryzhik , 1965) :

$$\gamma_j = E(u_j u_{t-j}) = \sigma^2 \sum_{i=0}^{\infty} \Psi_i \Psi_{i+j}$$

$$= \sigma^2 \frac{(-1)^j (-2d)!}{(j-d)!(j-d)!} = \sigma^2 \frac{(-1)^j \Gamma(1-2d)}{\Gamma(j-d+1)\Gamma(1-j-d)} \dots \dots (9.2)$$

iii- دالة الارتباط الذاتي :

$$\rho_j = \frac{\Gamma(1-d)\Gamma(j+d)}{\Gamma(d)\Gamma(j-d+1)} = \prod_{0 < j \leq h} \frac{j-1+d}{j-d}, \quad h = 1, 2, \dots$$

$$\rho_j = C_3 \frac{\Gamma(1-d)}{\Gamma(d)} |j|^{(2d-1)}, \quad \rho_1 = \frac{d}{1-d} \text{ as } j \rightarrow \infty \dots \dots \dots (10.2)$$

حيث C_3 كمية ثابتة . أما فيما يخص العملية $\{u_t\}$ فانها تعرف طبقاً للارتباطات عندما تكون بمجموع محدود او غير محدود :

-1- اذا كانت $d \leq \frac{1}{2}$ فان العملية ARIMA(0,d,0) مستقرة بذكرة طويلة ومستمرة ايضا ، وانها تبدي اعتماداً موجباً قوياً بين المشاهدات البعيدة ، حيث تبين في حقل الزمن ان التباينات المشتركة موجبة وتتناقص بشكل طبيعي . وفي حقل التكرار فان دالة الطيف تتلاشى الى قيمة لا نهائية عندما $\lambda \rightarrow 0$.

-2- اذا كانت $0 < d \leq \frac{1}{2}$ فان العملية ARIMA(0,d,0) قابلة للاعكاس بذكرة قصيرة وغير دائمة ، وانها تبدي اعتماداً سالباً بين المشاهدات البعيدة ، حيث تبين في حقل الزمن ان التباينات المشتركة سالبة وتتناقص بشكل طبيعي . وفي حقل التكرار فان دالة الطيف تتلاشى الى قيمة لا نهائية عندما $\lambda \rightarrow 0$.

-3- عندما $d = \frac{1}{2}$ فان العملية غير مستقرة ولكنها قابلة للاعكاس .

-4- عندما $d = -\frac{1}{2}$ فان العملية مستقرة ولكنها غير قابلة للاعكاس .

-5- عندما $d = 0$ فان العملية تكون عملية تشويش ابيض بارتباط ذاتي يساوي صفر .

3.3 طائق التقدير شبه المعلمية semiparametric Estimation Methods: اقترحت العديد من أساليب التقدير شبه المعلمية للسلسل الزمنية المتكاملة كسرياً . فقد وردت في دراسة [4] (Geweke & Porter-Hudak, 1983)، [9] (Mandelbrot & wallis, 1969)

[3] (Dicker, 2004) ، [14] (Robinson, 1995)، [12] (Peng , 1994)، [2] (Beran, 1994)، وأخرون.

1.3.3 Log – Periodogram Regression [13,4] : لقد اقترحت هذه الطريقة من قبل (Geweke and Porter-Hudak, 1983)، وهي امتداد للطريقة التكرارية التي تعتمد على انحدار الطيف المقترن من قبلهم عام (1982)، وبين الباحثان ان هذه الطريقة والتي اطلق عليها تسمية (GPH) يمكن استخدامها في حالة العينات الصغيرة ايضاً . ولوصف هذه الطريقة، لتكن العملية $\{y_t\}$ تخضع للعملية ARIMA(p,d,q) وكما يأتي:

$$\emptyset(B)(1-B)^d y_t = \theta(B) \epsilon_t$$

$$(1-B)^d y_t = u_t$$

$$\therefore u_t = \emptyset^{-1}(B) \theta(B) \epsilon_t$$

حيث ان $\{u_t\}$ تمثل عملية مستقرة بمتوسط (0) وتبين (σ_u^2) ، ولها كثافة طيف $f_u(\lambda)$ عندما $0 < \lambda < \pi$. وبذلك فان دالة كثافة الطيف للعملية $\{y_t\}$ يمكن كتابتها بالصيغة الآتية :

$$f_y(\lambda) = \left| 1 - e^{-i\lambda} \right|^{-2d} f_u(\lambda) \\ = \left| \frac{2ie^{-\frac{i\lambda}{2}} \left(e^{\frac{i\lambda}{2}} - e^{-\frac{i\lambda}{2}} \right)}{2i} \right|^{-2d} f_u(\lambda) = \left| 2 \sin\left(\frac{\lambda}{2}\right) \right|^{-2d} f_u(\lambda) \dots \dots (11.2)$$

وبأخذ اللوغاريتم لطيفي المعادلة (11.2) واضافة وطرح الحد $\ln f_u(0)$ ينتج ان :

$$\ln f_u(\lambda) = \ln f_u(0) - d \ln \left| 2 \sin\left(\frac{\lambda}{2}\right) \right|^2 + \ln \left[\frac{f_u(\lambda)}{f_u(0)} \right] \dots \dots (12.2)$$

وبتعويض التكرارات التوافقية لـ (Fourier) والتي تساوي $\lambda_j = \frac{2\pi j}{T}$ ، حيث ان (T) عدد المشاهدات وان $j = 1, 2, \dots, \left[\frac{T-1}{2}\right]$ واضافة لوغاريتيم المخطط الدوري لـ $\{y_t\}$ الى طرفي المعادلة (12.2) ينتج ان

$$\begin{aligned} \ln I(\lambda_j) &= \ln f_u(0) - d \ln \left| 2 \sin \left(\frac{\lambda}{2} \right) \right|^2 + \ln \left[\frac{f_u(\lambda)}{f_u(0)} \right] + \ln \left[\frac{I(\lambda_j)}{f_y(\lambda_j)} \right] \\ &\quad \text{وعندما } \lambda_j \rightarrow 0 \text{ لكل قيمة (j) فإن: } \ln \left[\frac{f_u(\lambda)}{f_u(0)} \right] \approx 0, \text{ وبتعريف:} \\ z &= \ln I(\lambda_j), \quad \alpha = \ln f_u(0), \quad \beta = -d \\ x_j &= \ln \left| 2 \sin \left(\frac{\lambda}{2} \right) \right|^2, \quad v_j = \ln \left[\frac{I(\lambda_j)}{f_y(\lambda_j)} \right] \end{aligned}$$

أمكن الحصول على معادلة الأتحدار الآتية :

$$z_j = \alpha + \beta x_j + v_j \quad , \quad j = 1, 2, \dots, k \quad \dots \dots \dots \quad (13.2)$$

وبذلك فإن مقدار المربعات الصغرى لمعملة الذاكرة الطويلة (d) يأخذ الصيغة الآتية:

$$\bar{z} = \sum_{j=1}^k \frac{z_j}{k}, \quad \bar{x} = \sum_{j=1}^k \frac{x_j}{k}$$

2.3.3 طريقة التباين المتجمع Aggregated Variance Method [13,16]:

على فرض أن $\{y_n, \dots, y_1\}$ عينة تخضع للعملية ARFIMA(p,d,q). ففي هذه الطريقة يتم تقسيم العينة الى قطاعات حجم كل منها يساوي (m)، وحساب المعدل داخل كل قطاع ، وبالتالي الحصول على السلسلة التجميعية بقيم متعاقبة عددها (m):

$$\bar{y}_j = \frac{1}{m} \sum_{i=(j-1)m+1}^{jm} y(i) \quad , \quad j = 1, 2, \dots, k \quad \dots \dots \dots (15.2)$$

حيث أن k : تمثل رمز القطاع . ثم احتساب تباين العينة $L(y_j)$ عندما $k = 1, 2, \dots, \frac{n}{m}$ داًخِل كل قطاع

. وأن هذا التباين يمثل المقدار $(\bar{y} - y)$ ويحسب بالشكل الآتي :

وبالتالي يكرر الاسلوب اعلاه لمختلف القيم (m) . ثم ترسم قيم لوغاريتم تباين العينة مقابل ($\log m$) . وأن النقاط الناتجة سوف تشكل خطأً مستقيماً بميل مقداره $-2H = \beta$ ، وإن $0 < \beta < -1$. وطبقاً لنظرية الذاكرة الطويلة وعندها تكون قيمة (m) كبيرة فإن :

$$\widehat{\text{var}}(\bar{y}_m) \sim C m^{2d-1} \quad \dots \quad (17.2)$$

اذ أن C : عدد ثابت موجب . وعلى التعاقب بعد تقسيم العينة (n) الى (k) من القطاعات وكل قطاع بحجم (m) اي أن $n = k X m$ فعليه يكون :

$$\text{Log} \widehat{\text{var}}(\bar{y}_j) \sim \text{Log} c + (2d - 1) \text{Log } j \quad \dots \dots \dots \quad (18.2)$$

لكل قيم $k, 1, 2, \dots, j$ حيث أن \bar{y}_j يمثل معدل القطاع (j) . وبذلك فإن مقدار المربعات الصغرى للملمة الكسرية (d) يكون :

$$\hat{d}_{AV} = \frac{1}{2} \left[1 - \frac{\sum_{j=1}^k (\log j - a)(\log \text{var}(\bar{y}_j) - b)}{\sum_{i=1}^k (\log i - a)^2} \right] \dots \dots \dots (19.2)$$

$$a = \frac{1}{k} \sum_{j=1}^k \text{Log } j \quad , \quad b = \frac{1}{k} \sum_{j=1}^k \text{Log var } (\bar{y}_j) \quad : \quad \text{اذن}$$

3.3.3 طريقة المخطط الدوري: [2,16]

اقترحت هذه الطريقة من قبل (Bearan, 1994) وتتلخص فكرة هذه الطريقة بالشكل الآتي : على فرض أن $\{y_1, y_2, \dots, y_n\}$ تمثل سلسلة الذاكرة الطويلة أو إعتماد المدى الطويل ، فإن المخطط الدوري للسلسلة يمكن حسابه وفق الصيغة الآتية :

$$I(\lambda) = \frac{1}{2\pi n} \left| \sum_{i=1}^n y(i) e^{-ij\lambda} \right|^2 \quad \dots \dots \dots \dots \dots \quad (20.2)$$

عندما $\lambda_i = \frac{2\pi j}{n}$ تمثل التكرارات و (n) عدد مشاهدات السلسلة $\{y_i\}$. ولأن $I(\lambda)$ هي مقدار دالة الطيف فإن سلسلة إعتماد المدى الطويل لها مخطط دوري يتناسب مع $|\lambda|^{1-2H}$ أي :

$$I(\lambda) \sim C_f |\lambda|^{1-2H} \quad \text{as } |\lambda| \rightarrow 0 \quad \dots \dots \dots \dots \dots \quad (21.2)$$

وعليه فإن انحدار لوغاريم المخطط الدوري على لوغاريم التكرارات سوف يشكل الميل $(1-2H)$ ، أي إن :

$$\log I(\lambda) \sim \log C_f + (1-2H) \log |\lambda| \quad \dots \dots \dots \dots \dots$$

وعلى فرض أن مقدار الإنحدار الخطي هو $(-\hat{\alpha})$ فإن المقدار (H) سيكون $(1 + \hat{\alpha})$ وبالتالي فإن $\hat{d}_{PR} = \frac{\hat{\alpha}}{2}$ أي أن :

$$\hat{d}_{PR} = \frac{1}{2} \left[\frac{\sum_{k=1}^{\lfloor \frac{n}{2} \rfloor} (\log |\lambda_k| - a)(\log I(\lambda_k) - b)}{\sum_{k=1}^{\lfloor \frac{n}{2} \rfloor} (\log |\lambda_k| - a)^2} \right] \quad \dots \dots \dots \dots \dots \quad (22.2)$$

$$a = \left[\frac{n}{2} \right]^{-1} \sum_{j=1}^{\lfloor \frac{n}{2} \rfloor} \log |\lambda_j| , \quad b = \left[\frac{n}{2} \right]^{-1} \sum_{j=1}^{\lfloor \frac{n}{2} \rfloor} \log I(\lambda_j) \quad \text{إذ أن} \quad \dots \dots \dots \dots \dots$$

4.3.3 مقدر Robinson

لقد أقترح هذا المقدر من قبل الباحث (Robinson , 1995) ، ويعتمد أسلوبه على تحويلات Fourier (Fourier Transform) والمخطط الدوري . حيث درس الباحث إنموذج التشويش الكسري (Fractional Noise) وبين أن دالة الطيف للإنموذج تأخذ الصيغة الآتية :

$$f(\lambda) = \frac{2\sigma^2 \Gamma(2d)}{(2\pi)^{3+2d}} \cos(\pi d) \left(\frac{\lambda}{2}\right) \sum_{j=-\infty}^{\infty} \left|j + \frac{\lambda}{2\pi}\right|^{-2(1+d)} , \quad -\pi < \lambda < \pi$$

وأن الإنموذج لسلسلة إعتماد المدى الطويل يأخذ الصيغة الآتية :

$$f(\lambda) \sim C \lambda^{-2d} \quad \text{as } \lambda \rightarrow 0 \quad \dots \dots \dots \dots \dots \quad (23.2)$$

وبالتالي فإن مقدر (Robinson) يحسب باستخدام المخطط الدوري الآتي :

$$I(\lambda) = |\omega(\lambda)|^2 , \quad \omega(\lambda) = (2\pi n)^{-\frac{1}{2}} \sum_{t=1}^n y_t e^{it\lambda}$$

$$a_j = -\log \left(4 \sin^2 \left(\frac{\lambda_j}{2} \right) \right)$$

$$\bar{a} = (m-l)^{-1} \sum_{j=l+1}^m a_j , \quad S_l = \sum_{j=l+1}^m (a - \bar{a})^2$$

$$\bar{d}_{Robs} = \frac{\sum_{j=l+1}^m (a - \bar{a}) \log I(\lambda_j)}{S_l} , \quad 0 \leq l \leq m < n \quad \dots \dots \dots \dots \dots \quad (24.2)$$

وأن \bar{d}_{Robs} يمثل مقدار المربعات الصغرى للمعلمة الكسرية (d) في إنموذج الإنحدار الآتي : بالصيغة :

$$\log I(\lambda_j) = C + d a_j + u_j , \quad j = l+1, l+2, \dots, m \quad \dots \dots \dots \dots \dots \quad (25.2)$$

إذ أن (l) تمثل نقطة ادنى قطع تمثل إلى ما لا نهاية بشكل أبطأ من (m) وأن $c = \log C - \delta$ حيث أن

$$(8) \text{ تمثل ثابت Euler} \text{ والذي قيمته تساوي } (0.5772)$$

5.3.3 طريقة تحليل تقلبات الاتجاه المتناقض : [11,12,14]

Method Detrended Fluctuation Analysis

إقترحت هذه الطريقة من قبل Peng et al., 1994 والتي وصفت بالشكل الآتي : على فرض أن $\{y_1, y_2, \dots, y_n\}$ تمثل عينة من عملية ذاكرة طويلة مستقرة ، فإن الخطوات الآتية:

- 1 تقسم العينة إلى (k) من القطاعات وأن حجم كل قطاع يساوي $(m = \frac{n}{k})$
- 2 دخل كل قطاع يتم حساب المجاميع الجزئية لـ $\{y_t\}$ أي أن :

$$x_t = \sum_{j=1}^t y_j , \quad t = 1, 2, \dots, m$$

3 في كل قطاع يتم مطابقة إنموذج الإنحدار البسيط لـ (x_t) مقابل $t = 1, 2, \dots, m$.

4 حساب (σ_k^2) الذي يمثل تباين الباقي المقدرة من الإنحدار داخل القطاع ويحسب كما يأتي:

$$\sigma_k^2 = \frac{1}{m} \sum_{t=1}^m (x_t - \hat{\alpha}_k - \hat{\beta}_k t)^2 \dots \dots \dots \quad (26.2)$$

5 إذ أن $\hat{\alpha}_k$, $\hat{\beta}_k$ هي مقدرات المربيعات الصغرى للحد الثابت والميل لخط الإنحدار للمجموعة (k) .
ايجاد $F^2(k)$ والتي تمثل المعدل لهذه التباينات وتحسب كما يأتي :

$$F^2(k) = \frac{1}{k} \sum_{j=1}^k \sigma_j^2 \dots \dots \dots \dots \quad (27.2)$$

6 وقد وصف Peng et al (Peng et al) سلوك $(F(k))$ في إنموذج المسار العشوائي بأنه يأخذ التقريب:

$$F(k) \sim C k^{\frac{1}{2}}$$

بينما في متسلسلة المدى الطويل يكون :

$$F(k) \sim C k^{d+\frac{1}{2}} \dots \dots \dots \dots \quad (28.2)$$

7 وبأخذ اللوغاريتم للطرفين يكون:

$$\log F(k) \sim \log C + (d + \frac{1}{2}) \log k$$

حينئذ وبمطابقة المربيعات الصغرى للإنموذج الخطي البسيط :

$$\log F(k) = \alpha + \beta \log k + \epsilon_k \dots \dots \dots \dots \quad (29.2)$$

فإنه بالإمكان الحصول على مقدر المعلمة الكسرية التي تمثل ميل الإنحدار :

$$\hat{\beta} = \frac{\sum_{j=1}^k (\log F(j) - a) (\log j - b)}{\sum_{j=1}^k (\log F(j) - a)^2} \dots \dots \dots \quad (30.2)$$

$$a = \frac{1}{k} \sum_{j=1}^k \log F(j) , \quad b = \frac{1}{k} \sum_{j=1}^k \log j \quad \text{إذ أن} :$$

$$\therefore \hat{d}_{DFA} = \hat{\beta} - \frac{1}{2} \dots \dots \dots \quad (31.2)$$

6.3.3 طريقة إعادة قياس المدى :

يعد الباحث Hurst, 1956 [7] أول من اكتشف خصائص الذاكرة الطويلة عندما كان يبحث في معرفة الحد الأدنى لأرتفاع سد أسوان الذي يزود طاقة خزین كافية للتحكم بتدفق نهر النيل. حيث قام بتطوير أداة تعرف بتحليل إعادة قياس المدى (Rescaled Range Analysis) التي تستخدم في تحليل عمليات المدى الطويل ويرمز له اختصاراً (R/S).

ولحساب الإحصاءة (R/S) فإن السلسلة $\{y_1, y_2, \dots, y_n\}$ تقسم إلى (k) من القطاعات. وأن كل

قطاع يحتوي على (M) من المشاهدات، وأن قيمة (M) تساوي أكبر عدد صحيح أقل من $(\frac{n}{k})$. أن إعادة

قياس المدى المصحح $(R(t_i, r)/S(t_i, r))$ يمكن ان يحسب للمديات (r) عندما $t_i = M(i-1)$

نقط البدء للقطاعات $i = 1, 2, \dots, k$ ولأن مدى معطى (r) فإن $R(t_i, r)$ يمكن حسابها فقط عندما :

$$t_i + r \leq n \dots \dots \dots \quad (32.2)$$

وعليه فان $R(t_i, r)$ يمكن ان تحسب بالشكل الآتي:

$$R(t_i, r) = \max\{w(t_i, 1), \dots, w(t_i, r)\} - \min\{w(t_i, 1), \dots, w(t_i, r)\} \dots \dots \quad (33.2)$$

$$w(t_i, k) = \sum_{j=0}^{k-1} y_{t_i+j} - k \left(\frac{1}{r} \sum_{j=0}^{r-1} y_{t_i+j} \right), \quad k = 1, 2, \dots, r \quad \text{اذ ان}$$

وان تباین العینة للمشاهدات $y_{t_i}, \dots, y_{t_i+r-1}$ يكون:

$$S^2(t_i, r) = \frac{1}{r} \sum_{j=0}^{k-1} y_{t_i+j}^2 - \left(\frac{1}{r} \sum_{j=0}^{r-1} y_{t_i+j} \right)^2 \dots \dots \dots \quad (34.2)$$

ولكل قيم (r) يتم الحصول على عدد من عينات (R/S) . فعینما تكون (r) صغیرة فإنه يتم حساب (k) من عينات (R/S) بسبب متطلبات الشرط في الصيغة (32.2) وكل قيم $i = 1, 2, \dots, k$. وهذا يعني ان العینات المحسوبة لـ (R/S) تتفاکص عندما تكون (r) قيمة كبيرة. فضلا عن ذلك فإن عدد عینات (R/S) تكون مساوية الى (1) عندما $(r \rightarrow n)$.

لقد بين (Mandelbrot, 1975) أنه تحت شروط معينة فإن $k^{-H} R/S(t_i, k)$ يقترب بالتوزيع من متغير عشوائي غير منحل (Non degenerate) عندما $\infty \rightarrow k$. وهذا يؤدي الى ان القيم الكبيرة لـ (k) يمكن ان تستخدم عن طريق الرسم البياني الى $\log k$ مقابل $\log R/S$ التي ستتشكل خط مستقيم بميل مقداره H :

$$\log E[R/S] \sim a + H \log k$$

وبالتالي فإن المعامل H (Hurst Coefficient) يقدر بمقابلة المستقيم الخطى للرسم البياني وإيجاد ميله لـ $\log k$ (k) باستخدام طريقة المربعات الصغرى للأحدار . ومن ثم أيجاد المقدار للمعلمـة الكسرية

$$\hat{d}_{R/S} = \hat{H} - \frac{1}{2}$$

كما اقترح الباحث (Lo, 1991) [8] إحصاء (R/S) المعدلـة (Modified Rescaled Range)، حيث رکز على الازاحة (Range) فقط بدلاً من دراسة الإزاحات المختلفة، فضلا عن ذلك بدلاً من استخدام الاتحراف المعياري للعينة فقد تستخدم المجموع الموزون للتباينات المشتركة الذاتية وكما يأتي :

$$\begin{aligned} S_q(n) &= \left(\frac{1}{n} \sum_{j=1}^n (y_j - \bar{y}_n)^2 + \frac{2}{n} \sum_{j=1}^q w_j(q) \left[\sum_{i=j+1}^n (y_i - \bar{y}_n)(y_{i-j} - \bar{y}_n) \right] \right)^{1/2} \\ &= [S^2 + 2 \sum_{j=1}^q w_j(q) \hat{\gamma}_j]^{1/2} \dots \dots \dots \dots \dots \dots \dots \quad (35.2) \end{aligned}$$

اذ ان \bar{y}_n يمثل متوسط العینة للسلسلة الزمنية وان الاوزان (q) w_j تكون معطاة كما يأتي: $w_j(q) = 1 - \frac{j}{q+1}$ ، $q < n$ إن الطريقة المعدلـة من قبل (Lo) تحتاج الى الدقة في اختيار القيمة المثلـى لـ (q) وبعكسه ستكون الإحصاء المعدلـة غير حساسـة الى الذاكرة الطويلـة و الحصول على نتائج متـحـيـزة ، ونتـيـجة لـ ذـلـك فـقـد اـقـتـرـح Andrews [1] صـيـغـة جـديـدة لـ اختيار (q) المـثلـى وكـما يـأـتـي :

$$q_{opt} = \text{int} \left[\left(\frac{3n}{2} \right)^{1/3} \left(\frac{2\hat{p}}{1 - \hat{p}^2} \right)^{2/3} \right]$$

اذ ان \hat{p} هو معـامل الارتبـاط الذـاتـي المـقدـر من الـدرـجـة الأولى.

4.3 المحاكاة :

ما لا شك فيه أن للمحاـڪـاة مفـاهـيم متـعدـدة رغم أنها تـحقـق هـدـفاً واحدـاً ، حيث استـخدمـت المحـاكـاة عبر الـزـمـن لـ حلـ نوعـين من المسـائل : الأولى هي المسـائل النـظـرـية في العـلـوم الأسـاسـية كالـرـياـضـيات وـالـفـيـزيـاء وـالـكـيـمـيـاء وـغـيرـها ، والـثـانـيـة هي المسـائل العمـلـية في كل مـظـاهرـ الـحـيـاة مثل المسـائل التجـارـية والأـجـتمـاعـية وـالـأـنظـمـة الطـبـية وـاستـراتـيـجيـاتـ الحـرـوبـ وـالـتـعبـنةـ العسكريـة .

ومن طـرـائقـ المحـاكـاة وـاـكـثـرـها شـيـواـ طـرـيقـةـ مـونـتـ كـارـلوـ (Monte Carlo) التي استـخدمـت أول مـرـة في أوـاـئـلـ الأـرـبعـينـياتـ وـخلـالـ الحـرـبـ العـالـمـيـةـ الثـانـيـةـ ، وـهـيـ تـسـتـخـدـمـ عـادـةـ عـندـ تـكـرارـ تـجـربـةـ المحـاكـاةـ لـلـامـوذـجـ العـشـوـانـيـ المـدـرـوسـ عن طـرـيقـ تـولـيدـ اـعـدـادـ عـشـوـانـيـ تـحـاـكيـ العـلـمـيـةـ العـشـوـانـيـةـ لـتـولـيدـ بـيـانـاتـ معـيـنةـ .

1.4.3 تطبيق اسلوب المحاكاة :

- طبقاً للمراحل التي تبني فيها المحاكاة باستخدام طريقة مونت كارلو ، فقد تم تحديد ما يأتي :
1. استخدام ثلاثة حجوم للعينات لتوليد الانموذج المدروس هي (300, 200, 100) وكررت التجربة (500) مرة ، كما تم باستخدام لغة (Virtual Basic) في تنفيذ برامج الحاسوب .
 2. ان تجارب المحاكاة تتضمن دراسة طرائق التقدير المذكورة في الجانب النظري .
 3. أن كل الانموذج التجاري يتضمن متوجه للاخطاء العشوائية وهو ما يسمى بمتوجه التشویش الابيض (ϵ_t) والذي يتبع التوزيع الطبيعي القياسي ($N(0, I_n)$ ، وأن الخطوة الرئيسية لتوليد هذا المتوجه تتم بتوليد سلسلة من القيم العشوائية التي تتبع التوزيع المنتظم المستمر ($U(0,1)$) . عليه فإن توليد المتغيرات الطبيعية لمتجه الاخطاء العشوائية يتم باستخدام التحويل الآتي :

$$\epsilon_1(t) = [-2 \ln u_1]^{\frac{1}{2}} [\sin(2\pi u_2)]$$

$$\epsilon_2(t) = [-2 \ln u_1]^{\frac{1}{2}} [\cos(2\pi u_2)]$$

2.4.3 الانموذج الكسري (ARFIMA(0 , d , 0)

تم توليد السلاسلة $\{Y_t\}$ للانموذج الكسري $ARFIMA(0,d,0)$ المعروفة بالشكل الآتي :

$$(1 - B)^d Y_t = \epsilon_t$$

وان القيم الاسمية لقيمة الكسرية (Nominal Values) التي تم اختيارها لتوليد الانموذج اعلاه هي :

$\{\pm 0.45, \pm 0.35, \pm 0.25, \pm 0.15, \pm 0.05, 0\}$
وبحجم مختلفة للعينة هي (100 ، 200 ، 300) ، وكررت التجربة (500) مرة . كما تم تقدير المعلمة الكسرية باستخدام الطرائق شبه المعلمية المذكورة سلفاً . وبالتالي ايجاد المعايير الآتية:

- 1- متوسط القيمة الكسرية
- 2- القيمة المطلقة للتحيز
- 3- الجذر التربيعي لمتوسط مربعات الخطأ

$$\sqrt{MSE} = [\frac{1}{r} \sum_{k=1}^r (d_k - nominal(d))^2]^{1/2}$$

الخطوة الاولى : تم احتساب المقدار شبه المعلمي للطرائق المذكورة عندما ($n=100$) للسلسلة الزمنية التي تم توليدتها بالانموذج $ARFIMA(0,d,0)$. وان القيمة الاسمية للمعلمة الكسرية تساوي (-0.45) ، وبالتالي رسم المخطط البياني (log - log) لكل طريقة وذلك لبيان مدى تكيف النقاط الناتجة عن تقاطع الاحاديثيات ومتابقة الانموذج الخطى البسيط . والشكل المرقم (1.3) توضح رسم هذه النقاط المناظرة لكل طريقة تقدير .

الخطوة الثانية : تم تحليل المعايير المستخدمة في هذه التجربة على ثلاثة مجامي طبقاً لانخفاض وارتفاع فيم معياري التحيز المطلق والجذر التربيعي لمتوسط مربعات الخطأ ، والناتج التي تم الحصول عليها مثبتة في الجداول المرقمة (1.3) ، (2.3) و (3.3) وبذلك يكون :

1. ان اقل قيمة لمعيار التحيز المطلق |Bias| للمجموعة الاولى كانت للمقدار (GHP) عند كل حجوم العينات والقيم الاسمية للمعلمة (d) . وان قيمة هذا المعيار تتناقص تدريجياً عند زيادة حجم العينة ، كما يتضح ايضاً ان المقدار (GHP) لا يتاثر بالقيم الاسمية للمعلمة الكسرية سواء كانت سالية او موجبة . ويلي ذلك كل من المقدرات (AV) ثم (DFA) ثم (Robs) على التوالي ، حيث ينطبق التحليل نفسه الذي تم ايضاحه في هذه الفقرة .

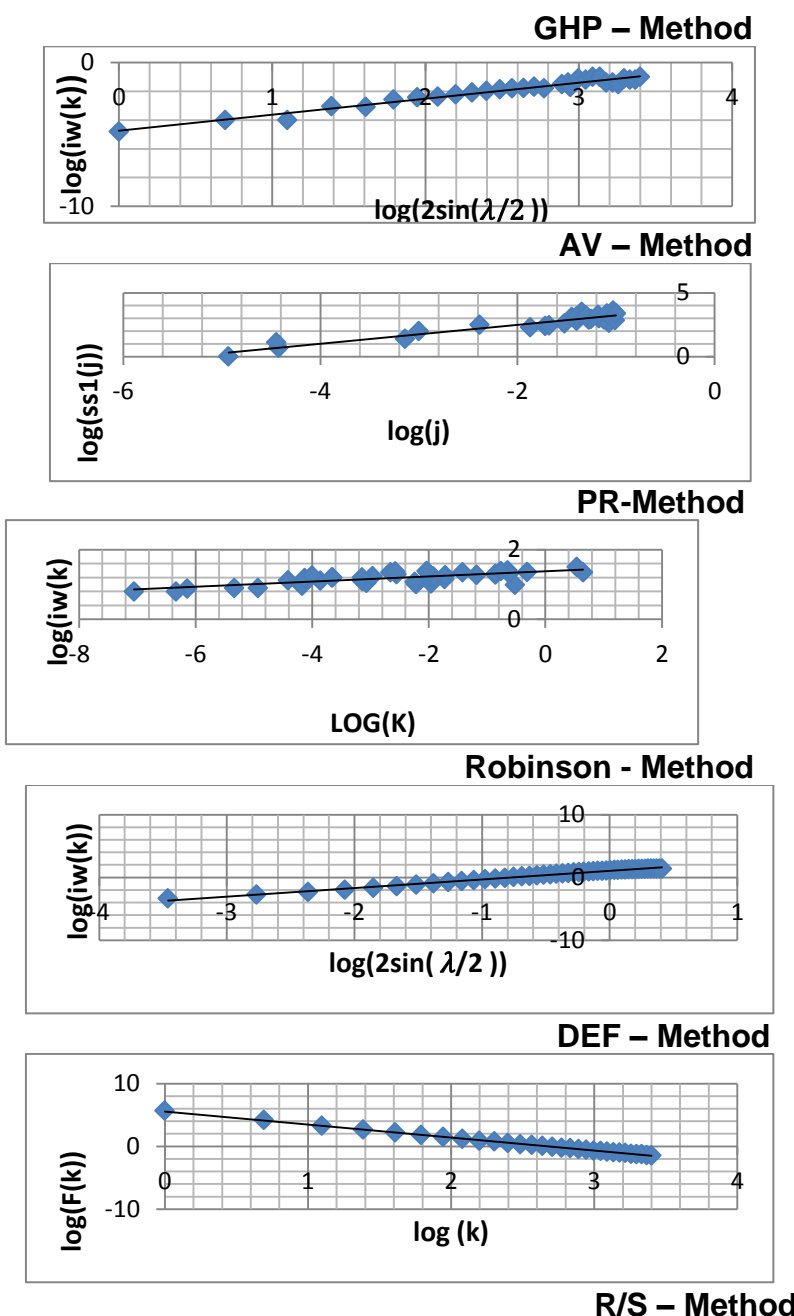
اما المجموعة الثانية فهي تضم المقدار (PR) حيث اعطت قيم متفاوتة للتراكيز المطلق بالرغم من بعد مقبوله عند كل مستويات القيم الاسمية للمعلمة (d) ، وايضاً لحجوم العينات كافة التي هي الاخرى تتناقص عند ازيداد حجم العينة .

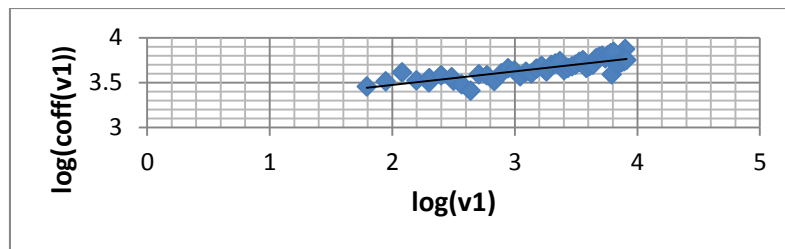
3. فيما تضمنت المجموعة الثالثة المقدار (R/S) الذي اعطى اكبر قيمة للتراكيز المطلق ولحجوم العينات كافة ، الا ان هذه القيمة تتناقص ايضاً عند زيادة حجم العينة ، ولكن هذا المقدار يتاثر بالقيم الاسمية اذ تبين ان قيمة التراكيز المطلق عند القيم الاسمية الموجبة اكبر منها للقيم الاسمية السالبة .

4. ان اقل قيمة للمعيار \sqrt{MSE} للمجموعة الاولى كانت للمقدار (GHP) عند كل حجوم العينات والقيم الاسمية للمعلمة (d) . وان قيمة هذا المعيار تتناقص تدريجياً عند زيادة حجم العينة وايضاً مع القيم الاسمية الموجبة . ويلي ذلك ضمن نفس المجموعة المقدرات (DFA) ثم (AV) اللذان يسلكان السلوك نفسه .

5. اما المجموعة الثانية فهي تضم المقدرات (Robs , PR) حيث اعطت ثانى اقل قيمة للمعيار (\sqrt{MSE}). ومن خلال سلوك هذه المقدرات اتضح انها حساسة للقيم الاسمية الكبيرة ، فضلاً عن انها اعطت نتائج غير مشجعة عند زيادة حجم العينة ، اذ ان هذه الزيادة لا تؤدي الى تقليص قيمة المعيار (\sqrt{MSE}) .

6. اما المجموعة الثالثة التي تضم المقدر (R/S) فقد اعطى اكبر قيمة للمعيار (\sqrt{MSE}) . وينفرد المقدر (R/S) بكونه يتاثر بحجم العينات الكبيرة ، حيث تبين ان قيمة المعيار (\sqrt{MSE}) له تتناقص بشكل ملحوظ مع زيادة حجم العينة.





شكل رقم (1.3) يوضح رسم النقاط (log-log) لطائق التقدير للنموذج (ARFIMA(0, -0.45, 0))

جدول رقم (1.3)

يبين القيم التقديرية للمعلمة (d) للنموذج الكسري ARFIMA($0, d, 0$) باستخدام المحاكاة عندما ($R=500$) وعدد المكررات ($n=100$)

d		\hat{d}_{GHP}	\hat{d}_{AV}	\hat{d}_{PR}	\hat{d}_{Robs}	\hat{d}_{DFA}	$\hat{d}_{R/S}$
-0.450	Mean	-0.426	-0.530	-0.364	-0.392	-0.365	-0.321
	Bias	0.024	0.080	0.086	0.058	0.085	0.129
	\sqrt{MSE}	0.146	0.157	0.207	0.272	0.158	0.338
-0.350	Mean	-0.351	-0.438	-0.291	-0.334	-0.297	-0.146
	Bias	0.001	0.088	0.059	0.016	0.053	0.204
	\sqrt{MSE}	0.147	0.157	0.186	0.261	0.152	0.339
-0.250	Mean	-0.246	-0.344	-0.210	-0.203	-0.216	-0.063
	Bias	0.004	0.094	0.040	0.047	0.034	0.187
	\sqrt{MSE}	0.144	0.153	0.188	0.264	0.148	0.338
-0.150	Mean	-0.154	-0.247	-0.112	-0.117	-0.122	-0.013
	Bias	0.004	0.097	0.032	0.033	0.028	0.137
	\sqrt{MSE}	0.147	0.148	0.174	0.287	0.145	0.335
-0.050	Mean	-0.053	-0.147	-0.015	-0.038	-0.021	-0.002
	Bias	0.003	0.097	0.035	0.012	0.029	0.048
	\sqrt{MSE}	0.135	0.140	0.185	0.261	0.141	0.321
0.000	Mean	0.014	-0.096	0.016	0.057	0.031	0.029
	Bias	0.014	0.096	0.016	0.057	0.031	0.029
	\sqrt{MSE}	0.133	0.135	0.178	0.270	0.138	0.319
0.050	Mean	0.039	-0.045	0.055	0.065	0.083	0.312
	Bias	0.011	0.095	0.005	0.015	0.033	0.262
	\sqrt{MSE}	0.130	0.130	0.177	0.263	0.138	0.341
0.150	Mean	0.173	0.059	0.131	0.206	0.189	0.386
	Bias	0.023	0.091	0.019	0.056	0.039	0.236
	\sqrt{MSE}	0.113	0.118	0.177	0.271	0.130	0.333
0.250	Mean	0.261	0.162	0.230	0.303	0.292	0.446
	Bias	0.011	0.088	0.020	0.053	0.042	0.196
	\sqrt{MSE}	0.101	0.107	0.180	0.268	0.126	0.318
0.350	Mean	0.357	0.260	0.321	0.385	0.392	0.519
	Bias	0.007	0.090	0.029	0.035	0.042	0.169
	\sqrt{MSE}	0.103	0.101	0.182	0.260	0.122	0.288
0.450	Mean	0.464	0.348	0.396	0.498	0.489	0.572
	Bias	0.014	0.102	0.054	0.048	0.039	0.122
	\sqrt{MSE}	0.106	0.108	0.182	0.268	0.118	0.245

جدول رقم (2.3)

يبين القيم التقديرية للمعلمة (d) للنموذج الكسري ARFIMA($0, d, 0$) باستخدام المحاكاة عندما ($R=500$) وعدد المكررات ($n=200$)

d		\hat{d}_{GHP}	\hat{d}_{AV}	\hat{d}_{PR}	\hat{d}_{Robs}	\hat{d}_{DFA}	$\hat{d}_{R/S}$
-0.450	Mean	-0.447	-0.482	-0.392	-0.439	-0.408	-0.437
	Bias	0.003	0.032	0.058	0.011	0.042	0.013
	\sqrt{MSE}	0.045	0.045	0.134	0.166	0.109	0.307
-0.350	Mean	-0.346	-0.380	-0.308	-0.337	-0.327	-0.157
	Bias	0.004	0.030	0.042	0.013	0.023	0.193
	\sqrt{MSE}	0.046	0.044	0.138	0.171	0.105	0.308
-0.250	Mean	-0.255	-0.277	-0.208	-0.241	-0.242	-0.072
	Bias	0.005	0.027	0.042	0.009	0.008	0.178
	\sqrt{MSE}	0.038	0.039	0.129	0.164	0.114	0.303
-0.150	Mean	-0.140	-0.173	-0.127	-0.122	-0.158	-0.031
	Bias	0.010	0.023	0.023	0.028	0.008	0.119

	\sqrt{MSE}	0.033	0.034	0.122	0.164	0.100	0.295
- 0.050	Mean	-0.035	-0.068	-0.048	-0.026	-0.044	-0.039
	Bias	0.015	0.018	0.002	0.024	0.006	0.011
	\sqrt{MSE}	0.029	0.028	0.126	0.156	0.105	0.249
0.000	Mean	0.001	-0.015	0.004	0.006	0.003	0.019
	Bias	0.001	0.015	0.004	0.006	0.003	0.019
	\sqrt{MSE}	0.024	0.025	0.118	0.156	0.094	0.201
0.050	Mean	0.044	0.037	0.049	0.052	0.063	0.207
	Bias	0.006	0.013	0.001	0.002	0.013	0.157
	\sqrt{MSE}	0.026	0.024	0.115	0.155	0.101	0.261
0.150	Mean	0.146	0.142	0.142	0.153	0.171	0.248
	Bias	0.004	0.008	0.008	0.003	0.021	0.148
	\sqrt{MSE}	0.026	0.026	0.119	0.162	0.094	0.224
0.250	Mean	0.237	0.242	0.227	0.243	0.265	0.352
	Bias	0.013	0.008	0.023	0.007	0.015	0.102
	\sqrt{MSE}	0.027	0.028	0.126	0.162	0.089	0.179
0.350	Mean	0.345	0.334	0.314	0.354	0.370	0.400
	Bias	0.005	0.016	0.036	0.004	0.020	0.050
	\sqrt{MSE}	0.029	0.029	0.128	0.160	0.084	0.134
0.450	Mean	0.439	0.409	0.404	0.453	0.472	0.488
	Bias	0.011	0.041	0.046	0.003	0.022	0.038
	\sqrt{MSE}	0.044	0.049	0.137	0.164	0.083	0.114

(3.3) جدول رقم

يبين القيم التقديرية للمعلمة (d) للنموذج الكسري ARFIMA(0,d,0) باستخدام المحاكاة عندما (R=500) وعدد المكررات (n=300)

d		\hat{d}_{GHP}	\hat{d}_{AV}	\hat{d}_{PR}	\hat{d}_{Robs}	\hat{d}_{DFA}	$\hat{d}_{R/S}$
-0.450	Mean	-0.459	-0.478	-0.405	-0.451	-0.428	-0.440
	Bias	0.009	0.028	0.045	0.001	0.022	0.050
	\sqrt{MSE}	0.032	0.033	0.100	0.119	0.089	0.161
-0.350	Mean	-0.352	-0.373	-0.311	-0.346	-0.357	-0.269
	Bias	0.002	0.023	0.039	0.004	0.007	0.081
	\sqrt{MSE}	0.029	0.029	0.106	0.126	0.088	0.195
-0.250	Mean	-0.244	-0.267	-0.215	-0.231	-0.260	-0.191
	Bias	0.006	0.017	0.035	0.019	0.010	0.059
	\sqrt{MSE}	0.023	0.024	0.100	0.124	0.095	0.170
-0.150	Mean	-0.147	-0.159	-0.128	-0.137	-0.162	-0.118
	Bias	0.003	0.009	0.022	0.013	0.012	0.032
	\sqrt{MSE}	0.022	0.021	0.094	0.122	0.089	0.155
-0.050	Mean	-0.055	-0.051	-0.047	-0.052	-0.068	-0.043
	Bias	0.005	0.001	0.003	0.002	0.018	0.007
	\sqrt{MSE}	0.024	0.021	0.093	0.124	0.083	0.089
0.000	Mean	-0.002	0.004	0.002	0.007	0.015	0.019
	Bias	0.002	0.004	0.002	0.007	0.015	0.019
	\sqrt{MSE}	0.021	0.023	0.090	0.120	0.084	0.085
0.050	Mean	0.051	0.059	0.048	0.058	0.039	0.105
	Bias	0.001	0.009	0.002	0.008	0.011	0.055
	\sqrt{MSE}	0.022	0.027	0.101	0.132	0.077	0.176
0.150	Mean	0.155	0.169	0.140	0.159	0.156	0.099
	Bias	0.005	0.019	0.010	0.009	0.006	0.051
	\sqrt{MSE}	0.026	0.039	0.095	0.123	0.074	0.167
0.250	Mean	0.251	0.275	0.223	0.261	0.251	0.213
	Bias	0.001	0.025	0.027	0.011	0.001	0.037
	\sqrt{MSE}	0.030	0.044	0.100	0.130	0.071	0.145
0.350	Mean	0.352	0.370	0.316	0.356	0.354	0.347
	Bias	0.002	0.020	0.034	0.006	0.004	0.013
	\sqrt{MSE}	0.029	0.044	0.104	0.122	0.063	0.114
0.450	Mean	0.451	0.444	0.404	0.459	0.454	0.444
	Bias	0.001	0.006	0.046	0.009	0.004	0.006
	\sqrt{MSE}	0.040	0.043	0.107	0.119	0.063	0.071

1.4 الاستنتاجات :

- لُوِظَ بِشَكْلِ عَامٍ عَنْ تَطْبِيقِ بَعْضِ الْمَقْدَرَاتِ شَبَهِ الْمَعْلُومَةِ أَنَّ زِيَادَةَ حَجْمِ الْعِينَةِ لَهُ تَأْثِيرٌ سَلْبِيٌّ فِي تَحْسِينِ نَتَائِجِ التَّجْربَةِ . وَيُنْطَلِقُ التَّحلِيلُ نَفْسَهُ عَنْ زِيَادَةِ عَدْدِ الْمَكَرَاتِ .
- ان طرائق التقدير شبه المعلمية المستخدمة في تقييم المعلمة الكسرية (d) للنموذج ARFIMA(0,d,0) تعتمد أساساً على صياغة المقدرات نتيجة استخدام خاصية التقارب وبالتالي توظيف الانموذج الخطى البسيط (Linear Simple)

(Regression) في عملية التقدير . ونتيجة لذلك نستنتج ان الصيغة الخطية لعلاقة (log-log) كانت متوافقة وبالاخص للمقدرات (DFA , GHP , Robs) كما موضح ذلك في الشكل (1.3). كما لوحظ ان زيادة حجم العينة يؤدي الى انتشار عشوائي غير مننظم للعلاقة (log-log) وبالتالي يصعب مطابقتها للنموذج الخطى البسيط .
3. ان افضل طريقة لتقدير المعلمة الكسرية في الانموذج الكسرى (GHP) هي طريقة (ARFIMA(0,d,0)) حيث انها اعطت اقل قيمة لمعيار التحيز المطلق ومعيار الجذر التربيعي لمتوسط مربعات الخطأ (\sqrt{MSE}). ويلي ذلك المقدaran (DFA) ثم (Robs) .

2.4 التوصيات :

1. اجراء دراسة نظرية او تجريبية معمقة للانموذج ARFIMA(0,d,0) عندما تكون القيم الكسرية للمعلمة (d) خارج المدى المدروس في هذا البحث اي خارج $-0.5 < d < 0.5$
2. نوصي بإجراء دراسة موسعة للانموذج المختلط المتكامل كسرياً .ARFIMA(p,d,q)
3. نوصي بإجراء دراسة للانموذج الكسرى الموسمي SARFIMA(0,d,0)(0,D,0) الذي يتضمن المعلمة الكسرية (d) للمركبة غير الموسمية والمعلمة الكسرية (D) للمركبة الموسمية.

المصادر

- 1- Andrews , D., (1991)." Heteroskedasticity and Autocorrelation Consistent Covariance Matrix Estimation. *Econometrica*, 59,817-858 .
- 2- Beran , J. (1994b). *Statistics for Long-Memory Processes*. Chapman & Hall , New – York , USA .
- 3- Dicker , T. (2004) ." Simulation of Fractional Brownian Motion ". Amsterdam . Ntherlands.
- 4- Geweke , J. and Porter – Hudak , S. (1983)." The Estimation and Application of Long Memory Time Series Models ". *Journal of Time Series Analysis* , Vol.4 , No.4 , 221 – 238 .
- 5- Gradshteyn , I.S. and Ryzhik, I.M.(1965). *Tables of Integrals Series and Products* , Academic Press , New – York .
- 6- Guegan , D. (2005). : How can we define the Concept of Long-Memory ? *Econometric Survey* ". *Econometric* , Rev,24,113-149.
- 7- Hurst , H.E. (1956)." Methods of Using Term Storage in Reservoirs". *Proc. the Inst. of Civil Engineers* , I , 519-543 .
- 8- Lo , A.W. , (1991). " Long – Term Memory in Stock Market Prices ". *Econometrica* , 59 , 1279 – 1313 .
- 9- Mandelbrot , B.B. , and Wallis ,J.R.(1969)." Computer Experiments with Fractional Gaussian Noises : Part 1,2,3 ". *Water Resources Research* , No.1,5
- 10- McCarthy , J.,Disario , R. and Saraoglu , H.(2003)."A Recursive Algorithm for Fractionally Differencing Long Data Series ". *Journal of Modern Applied Statistical Methods* , Vol.2 , No.1 , 272 – 278 .
- 11- Palma ,W. (2007).*Long – Memory Time Series:Theory & Methods*. John – Wiley & Sons , Inc. , Puplication . USA .
- 12- Peng , C.K. , Buldyrev, S.V. , Smith , M. , Stanley ,H.E.& Goldberger, A.L.(1994)." Mosaic Organization of DNA Nucleotides ". *Physical Review*, E , 49, PP(1585 – 1689).
- 13- Reisen , V. , Abraham , B. and Lopes , S.(2001)." Estimation Paramerters in ARFIMA Processes : A Simulation Study ". *Communications in Statistics – Simulation and computation* . Vol.30 , Issue 4 .
- 14- Robinson , P.M. (1995)."Log-Periodogram Regression of the Time Series with Long Range Dependence ". *The Annals of Statistics* ,Vol.23 , No.3 , pp (1048 – 1072) .
- 15- Robinson , P.M. (2003). *Long Memory Time Series within Time Series with Long Memory* . Oxford University . Oxford .
- 16- Taqqu , M.S.,Teverovsky , V. , & Willinger , W. (1995)." Estimators for Long – Range Dependence : An emperical Study ". *Fractals* 3(4), pp (785 – 798),Reprinted in:*Fractals Geometry and Analysis* .1996.
- 17- Tsay , R.S. (2005) . *Analysis of Fractional Time Series* . Second Edition , John – Wiley and Sons , Inc. , USA .
- 18- Wei ,W.W.S.(1990). *Time Series Analysis: Univariate &Multivariate Methods* , Addison – Wesley Puplishing Company , Inc.
- 19- Yong , C.H. (1974) . " Asymptotic Behaviour of Trigonometric Series , Chinese University , Hong Kong .